

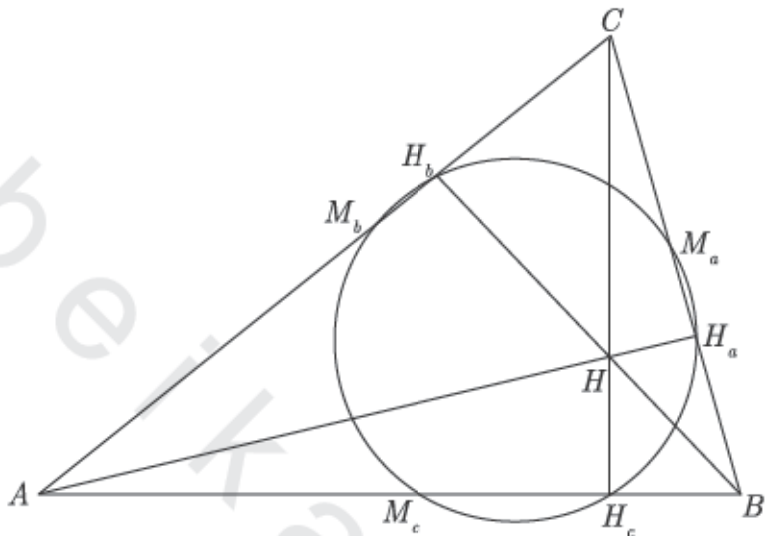
دائرة النقاط التسع

نبذة حول دائرة النقاط التسع

لعل من أكثر الأمور إمتناعاً في الهندسة هو أن تلاحظ كيف أن شكلاً واحداً يتبع لنا عدداً لا نهاية له من الخصائص وال العلاقات ، وأمثلتنا على ذلك تبدأ بتسعة نقاط محددة على المثلث وهي :

- منتصفات أضلاع المثلث.
- مساقط ارتفاعات المثلث على أضلاعه.
- منصفات القطع المستقيمة الواقلة بين نقطة تقاطع ارتفاعات المثلث ورؤوسه.

هذه النقاط بينها علاقة محددة هي أنها تقع جميعاً على دائرة واحدة ، تسمى دائرة النقاط التسع للمثلث (انظر الشكل 1 - 8) .



شكل ٨ - ١

وبعد أن ثبتت أن هذه النقاط التسع تقع على دائرة واحدة، سنقوم ببحث العديد من الخصائص الخاصة بهذه الدائرة الشهيرة وسنستطرد قليلاً لنطور بعض الخصائص الخاصة بارتفاعات المثلث.

أثبت ليوناردو أويلر Leonhard Euler في العام ١٧٦٥ أن ست نقاط من هذه النقاط تمر بها دائرة وحيدة وكانت هذه النقاط هي متصفات أضلاع المثلث ومساقط ارتفاعاته على هذه الأضلاع، وظل ذلك قائماً حتى عام ١٨٢٠ حين قدم تشارلز جولييان بريانشون و جان فيكتور بونسيليه Charles-Julian Brianchon & Jean Victor Poncelet ورقة بحثية أثبتا فيها أن النقاط الثلاث الباقية (متصفات القطع المستقيمة الواسطة بين نقطة تقاطع ارتفاعات المثلث ورؤوسه) تقع على نفس الدائرة، واستكملاً في ورقتיהםا أول برهان تام لهذه النظرية، وأطلقوا عليها لأول مرة "دائرة النقاط التسع".

ويعزى جزء كبير من شهرة عالم الرياضيات الألماني الموهوب كارل فيلهلم فيوريماخ (١٨٠٠ - ١٨٣٤) Karl Wilhelm Feuerbach إلى ورقة بحثية قدمها في العام ١٨٢٢ قال فيها " الدائرة التي تمر بمساقط ارتفاعات المثلث على أضلاعه تمس أيضاً الدوائر الأربع للمثلث (الدائرة الداخلية والثلاث دوائر الخارجية) " وهذه النظرية هي النظرية ١٨ - ٨ في هذا الفصل. ونتيجة لعمله هذا سميت هذه النظرية باسمه " نظرية فيوريماخ " ، وفي بعض الأحيان يطلق على نظرية دائرة النقاط التسع نظرية فيوريماخ.

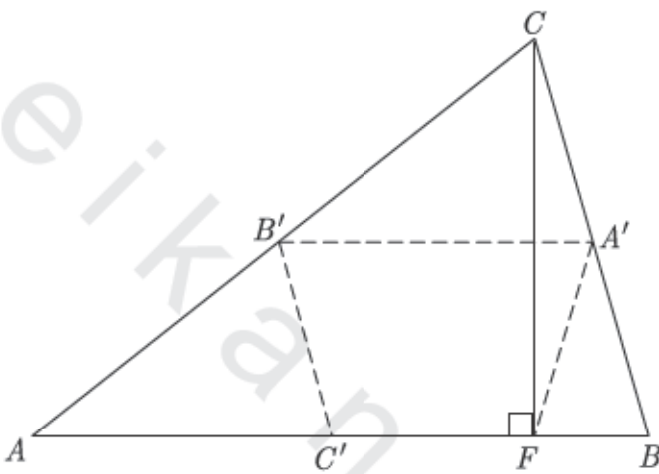
نظريّة ١-٨ في أي مثلث ، نقاط متصفات أضلاعه ومساقط ارتفاعاته على أضلاعه و متصفات القطع المستقيمة الواصلة بين نقطة تقاطع هذه الارتفاعات ورؤوسه ، تقع جميعاً على دائرة واحدة.

البرهان

من أجل تبسيط مناقشتنا لبرهان هذه النظرية ، سنقوم بدراسة كل جزء منها على حدة وعلى شكل منفصل ، واضعين في ذهاننا أن الأشكال من ٢ - ٨ إلى ٥ - ٨ هي مجرد أجزاء من الشكل ٦ - ٨ .

ففي $\triangle ABC$ ، النقاط A', B', C' متصفات الأضلاع على $\overline{BC}, \overline{AC}, \overline{AB}$ على الترتيب (انظر الشكل ٢ - ٨) ، ولنعتبر \overline{CF} ارتفاعاً في $\triangle ABC$ ، ولأن $\overline{A'B'}$ متوسط في نفس المثلث ، $\overline{A'B'} \parallel \overline{AB}$ ، إذن الشكل الرباعي $A'B'C'F$ شبه منحرف ، وبما أن $\overline{B'C'}$ متوسط أيضاً ، إذن $B'C' = \frac{1}{2} BC$ ، ولأن $\overline{A'F}$ متوسط خارج من رأس القائمة في $\triangle BCF$ ، إذن $B'C' = A'F$ ، وهذا يعني أن F ، ومنه شبه

المنحرف $A'B'C'F$ يكون متطابق الضلعين، أي أنه يوجد به زاويتان متقابلتان متكمالتان، أي أن الشكل $A'B'C'F$ رباعي دائري، وهذا يثبت لنا أن النقاط الأربع (A', B', C', F) (من أصل النقاط التسع) تقع على دائرة واحدة.

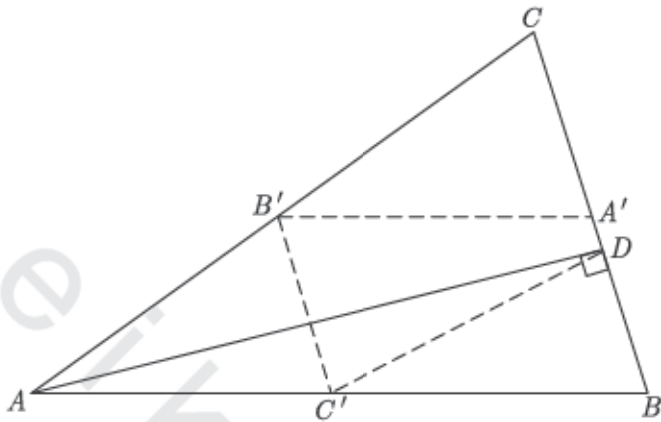


شكل ٨ - ٢

ولتفادي الخلط والالتباس، سرسم ΔABC الذي ارتفاعه \overline{AD} (الشكل ٣ - 8) ويستخدم نفس الخطوات السابقة نستطيع إثبات أن الشكل $A'B'C'D$ رباعي دائري.

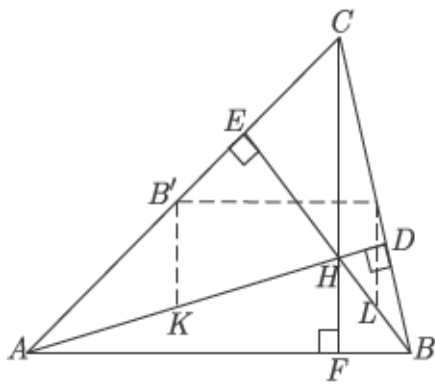
أي أننا الآن نملك خمس نقاط (A', B', C', F, D) من النقاط التسع تقع على دائرة واحدة.

وبتكرار ذلك مرة أخرى مع ارتفاع المثلث \overline{BE} (انظر الشكل ٤ - 8) نصل إلى أن النقاط الست (A', B', C', F, D, E) تقع على نفس الدائرة.

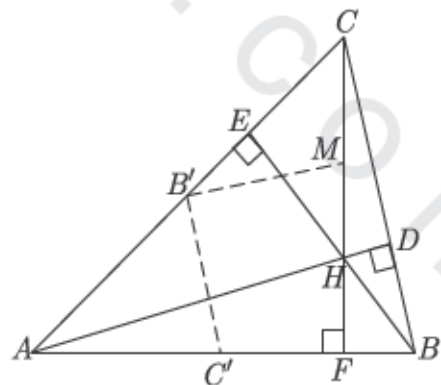


شكل ٨ - ٣

والآن، باعتبار النقطة H هي نقطة تقاطع ارتفاعات ΔABC ، نفرض أن
النقطة M منتصف \overline{CH} (انظر الشكل ٤ - ٨) ، ومن ذلك تكون $\overline{B'M}$ قطعة
واصلة بين منتصفين ضلعين في ΔACH ، وتوازي \overline{AH} أو الارتفاع \overline{AD} في
 ΔABC



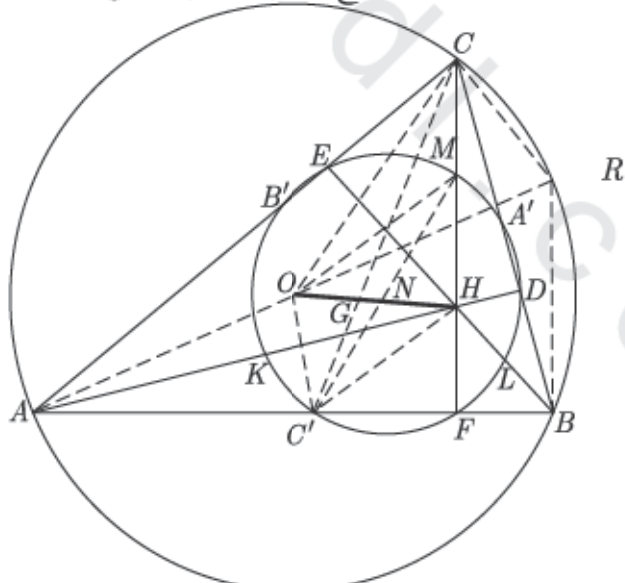
شكل ٨ - ٥



شكل ٨ - ٤

وبالمثل، بما أن $\overline{B'C'}$ واصلة بين متصفي ضلعين في $\triangle ABC$ ، $\angle ADC, \angle MB'C'F$ قائمتان، نستنتج أن الشكل رباعي دائري (زاویتان متقابلاتان متکاملتان)، وهذا يجعل النقطة M هي النقطة السابعة التي تنتهي لدائرتنا. ويتكرار نفس الإجراءات مع النقطة L التي هي متصف \overline{BH} (انظر الشكل ٥ - ٨) نحصل على أن $\angle B'A'L, \angle B'EL$ قائمتان أي أن النقاط B', E, A', L تقع على دائرة واحدة، حيث إنها رؤوس رباعي دائري (فيه زاویتان متقابلاتان متکاملتان) ، أي أن النقطة الثامنة لدينا هي النقطة L .

ولتحديد موقع نقطتنا التاسعة والأخيرة بالنسبة للدائرة، لتكن النقطة K متصف \overline{AH} وكما سبق نجد أن $\angle A'B'K, \angle A'DK$ قائمتان مما يعطينا مرة أخرى رباعياً دائرياً هو $A'DKB'$ ، والنقطة K هي النقطة التاسعة التي تقع على الدائرة وعلى ذلك تكون حددنا النقاط التسع للدائرة (انظر الشكل ٦ - ٨) .



شكل ٦ - ٨

واليآن نحن جاهزون لبرهنة بعض الخواص الأساسية لدائرة النقاط التسع.

نظريه: 8-2

مركز دائرة النقاط التسع للمثلث هو نقطة منتصف القطعة المستقيمة الواصلة بين نقطة تقاطع الارتفاعات ومركز الدائرة المحيطة لنفس المثلث.

البرهان

لأن $\overline{MC'}$ يقابل $\angle CFC'$ المحيطية القائمة في دائرة النقاط التسع للمثلث ، إذن $\overline{MC'}$ قطر لهذه الدائرة ومن ذلك نقطة منتصفه N هي مركز دائرة النقاط التسع للمثلث (انظر الشكل 6 - 8). نرسم \overrightarrow{AO} ليقطع الدائرة المحيطة O في النقطة R ، ثم نرسم $\overline{CR}, \overline{BR}$ ، وحيث إن $\overline{OC'}$ قطعة مستقيمة واصلة بين منتصفي ضلعين في ΔABR فإن $\overline{OC'} \parallel \overline{RB}$ ، ولأن $\angle ABR$ قائمة (زاوية محيطية مرسومة في نصف دائرة) ، أي أن كلًّا من $\overline{CF}, \overline{RB}$ عمودي على \overline{AB} ، أي أن $\overline{RB} \parallel \overline{CF}$ ، وبالمثل $\overline{BE} \parallel \overline{CR}$ ، أي أن لدينا متوازي الأضلاع $CRBH$ ، ومن ذلك $RB = CH$. ومرة أخرى ، حيث إن $\overline{OC'}$ قطعة مستقيمة واصلة بين منتصفي ضلعين في ΔABR :

$$OC' = \frac{1}{2}(RB) = \frac{1}{2}(CH) = HM$$

ومن هذا نستنتج أن الشكل $OC'HM$ متوازي أضلاع (لأن فيه ضلعين متقابلين متطابقين ومتوازيين) ، ولكن قطرًا متوازي الأضلاع ينصف كل منهما الآخر ، إذن النقطة N التي هي منتصف $\overline{MC'}$ هي أيضًا منتصف \overline{OH} .

نظريه: 3-8

طول قطر دائرة النقاط التسع للمثلث تساوي طول نصف قطر الدائرة المحيطة لنفس المثلث.

البرهان

في الشكل ٦ - ٨ نلاحظ أن \overline{MN} قطعة مستقيمة وواصلة بين منتصفين ضلعين ΔOHC في إذن :

$$MN = \frac{1}{2}(OC) . \bullet$$

في العام ١٧٦٥ م قدم لينارد أويلر Leonhard Euler ورقة بحثية أثبت فيها أن نقطة تقاطع المتوسطات G في المثلث تثلث \overline{OH} ، أي أن $(OG = \frac{1}{3}(OH))$ ، وهذا الخط \overrightarrow{OH} يطلق عليه خط أويلر Euler Line للمثلث.

نظرية ٤-٨ نقطة تقاطع المتوسطات في المثلث تقع على الثلث الأول من القطعة المستقيمة الواصلة بين نقطة تقاطع الارتفاعات ومركز الدائرة المحيطة بهذا المثلث ، وذلك من جهة مركز الدائرة المحيطة.

البرهان

لقد أثبتنا قبل قليل أن $OC' = \frac{1}{2}(CH)$ ، وكذلك $\overline{OC'} \parallel \overline{CH}$ (انظر الشكل ٦ - ٨) ومن ذلك نستنتج أن $\Delta OGC' \sim \Delta HGC$ (AA) بنسبة تشابهها $\frac{1}{2}$ ، إذن :

$$OG = \frac{1}{2}(HG) \Rightarrow OG = \frac{1}{3}(OH)$$

والآن يبقى لنا إثبات أن G نقطة تقاطع المتوسطات للمثلث ABC ، ومن السهل إثبات ذلك فمن المثلثات اللذين أثبتنا تشابههما تواً :

$$C'G = \frac{1}{2}(GC) = \frac{1}{3}(C'C)$$

وحيث إن $\overline{C'C}$ متوسط في المثلث ، فإن النقطة G حتما هي نقطة تقاطع المتوسطات ؛ حيث لأنها تقسم المتوسط بنسبة $1 : 2$ من جهة الرأس . ●
من الشيق أن نلاحظ أن :

$$\frac{HN}{NG} = \frac{3}{1} = \frac{HO}{OG}$$

إذن ، \overline{HG} تقسمها النقطة N داخلياً ، وأيضاً تقسمها O من الخارج بنفس النسبة وهذا ما يعرف باسم التقسيم التوافقـي .

نظريـة 5-8: جميع المثلثـات المنشـأة داخـل دائـرة مـعلومـة ولـها نفس نقطـة تقـاطـع الـارتفاعـات لـها أيضـاً نفس دائـرة النقـاط التـسع .

البرهـان

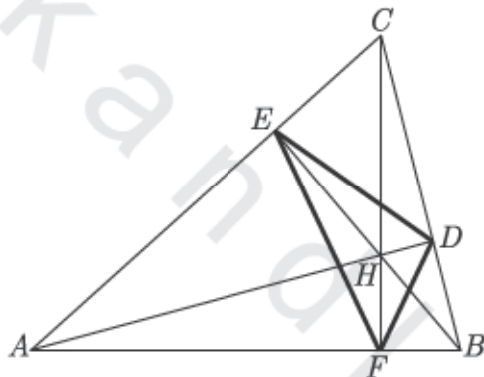
لأن جميع المثلثـات المنشـأة داخـل دائـرة مـعلومـة ولـها نفس نقطـة تقـاطـع الـارتفاعـات هي أيضـاً لها نفس خطـ أـويـلـر ، ولـأن مرـكـز دائـرة النقـاط التـسع لـجميع هـذه المـثلـاثـات ثـابـت وـيقـع في مـنـتصف خطـ أـويـلـر (نـظـريـة 2-8) ، وكـذـلـك لـأن طـول نـصـف قـطـر دائـرة النقـاط التـسع لـكل هـذه المـثلـاثـات يـساـوي نـصـف طـول نـصـف قـطـر الدـائـرة المـحـيـطة (نـظـريـة 3-8) ، أيـ أن دـوـائـر النقـاط التـسع لـهـذه المـثلـاثـات لـها نفس نـصـف القـطـر وـمرـكـز ثـابـت ، وهذا يـحـتـمـ أن تكون هـنـاك دائـرة نقاط تـسـع وـحـيدـة لـهـذه المـثلـاثـات .

ارتفاعـات المـثلـاث Altitudes

لـقد استـخدـمنـا نـظـريـة شـيفـا في الفـصل الثـانـي من كـتابـنا هـذا لـإـثـبـاتـ أن اـرـتفـاعـات المـثلـاث تـقـاطـع جـمـيعـاً في نقطـة وـاحـدة (انـظـرـ التـطـيـقـ الثـانـي صـفحـة 55) وقد أـطـلقـنا عـلـى المـثلـاث الـذـي رـؤـوسـه مـسـاقـطـ أيـ نقطـة دـاخـلـ أيـ المـثلـاث اـسـمـ مـثلـاثـ المسـاقـط Pedal

Triangle، وفي حالة خاصة أو نوع خاص من مثلثات المساقط عندما تكون النقطة التي تخرج منها الأعمدة إلى أضلاع المثلث هي نقطة تقاطع ارتفاعات الأصلية للمثلث Orthocenter فإننا نطلق على مثلث المساقط هذا اسم مثلث المساقط من نقطة تقاطع ارتفاعات المثلث Orthic triangle (أي المثلث التي تعينه نقاط تقاطع ارتفاعات ارتفاعات المثلث مع أضلاع هذا المثلث. ففي الشكل 7 - 8 ، مثلث المساقط من نقطة تقاطع ارتفاعات المثلث هو ΔDEF . وفقاً لنظرية 8 - 6 يشابه كلاً من

$$\Delta DEC, \Delta AEF, \Delta DBF$$



شكل 7 - 8

مثلث المساقط من نقطة تقاطع ارتفاعات المثلث يجزو المثلث

الأصلي إلى ثلاثة مثلثات كل منها يشابه المثلث الأصلي.

نظريّة 8 - 6

البرهان

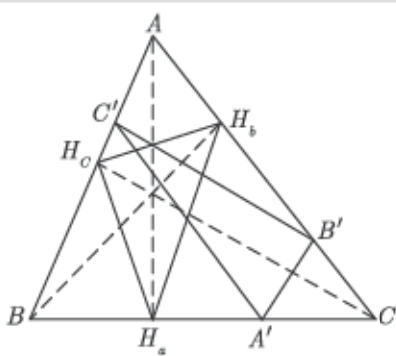
ستثبت أن $\Delta ABC \sim \Delta DEC$ (شكل 7 - 8). وسنحتاج فقط من أجل

استكمال البرهان تكرار ما قمنا به مع $\Delta AEF, \Delta DBF$ مع

الشكل $AEDB$ رباعي دائري لأن $\angle AEB \cong \angle ADB = 90^\circ$ ؛ إذن $\angle EAB, \angle EDB, \angle EAB, \angle EDC$ متكاملتان (زاویتان متقابلتان في الرباعي الدائري)، ولكن $\angle EAB \cong \angle EDC$ ، لأنه أيضاً $\angle C \cong \angle EDC, \angle EDB$ مشتركة بين المثلثين، فإن $\Delta ABC \sim \Delta DEC$. وبالمثل نستطيع إثبات أن $\Delta ABC \sim \Delta AEF$ (استخدم الرباعي الدائري $ECBF$)، وكذلك $\Delta ABC \sim \Delta DBF$ (استخدم الرباعي الدائري $AFDC$).

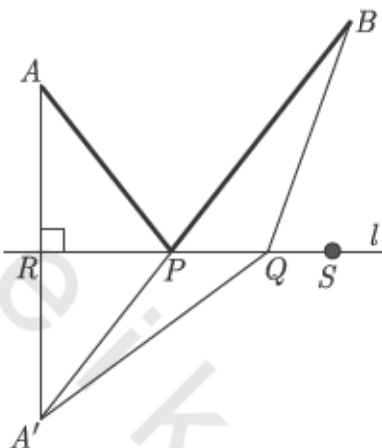
الميزة الخاصة بمثلث المساقط من نقطة تقاطع ارتفاعات المثلث التي أنت على النحو المقصوص عليه في نظرية 6 – 8 تقدمنا لحقيقة شيقة أخرى حول هذا المثلث، فحواها أنه إذا أنشئ مثلث داخل مثلث بحيث تقع رؤوس المثلث الثاني على أضلاع المثلث الأول، فأي من المثلثات الخادمة الزوايا يمكن أن يكون المثلث الثاني (المنشاً داخل المثلث الخادم الزوايا) هو الأقل في طول محيطه. ستبخربنا نظرية 7 – 8 عن أن هذا المثلث هو مثلث المساقط من نقطة تقاطع ارتفاعات المثلث.

نظرية 7-8: لأي مثلث منشاً داخل مثلث خادم الزوايا، يكون محيط المثلث المنشأ أقل ما يمكن إذا كان هذا المثلث المنشأ هو مثلث المساقط المنشاً من مساقط ارتفاعات المثلث (انظر شكل 8 – 8).



شكل 8 – 8

يعتمد برهان هذه النظرية اعتماداً كبيراً على نظرية أخرى يتم تدريسها في المرحلة الثانوية وتنص على أن "أقصر مسار من نقطة معلومة إلى مستقيم معلوم ثم إلى نقطة أخرى تقع في نفس



شكل ٨ - ٩

الاتجاه هو المسار الذي يشكل زاويتين متطابقتين مع المستقيم المعلوم ”. فعلى سبيل المثال لتكون النقطتان A, B في جهة واحدة بالنسبة للمستقيم l (انظر شكل ٩ - ٨)،

ولتكن كذلك A' صورة A حول l . إذن : $AR = A'R$ ، $\overline{AA'} \perp l$ ، وحيث إن النقطة P هي نقطة تقاطع $\overline{A'B}$ مع l فمن السهل إثبات أن $AP + PB < A'Q + QB$ أقصر مسافة من A إلى l إلى B . ولأن $\angle APR \cong \angle A'PR$

نستنتج أن $\angle A'PR \cong \angle BPS \cong \angle A'PR$ (وهي خاصية هامة لإيجاد أقل محيط). ولإثبات أن $AP + PB < A'Q + QB$ أصلية ، ختار نقطة ولتكن Q تتمي للمستقيم l بحيث لا تقع على النقطة P . والآن $A'B < A'Q + QB$ ، أو ، $A'P + PB < A'Q + QB$ وهذا يجعل اختيار النقطة P هو الذي يحقق أقل مسافة مطلوبة ، والآن نحن جاهزون لإثبات نظرية ٧ - ٨ .

البرهان

في إثبات نظرية ٦ - ٨ ، توصلنا إلى أن مثلث المساقط من نقطة تقاطع ارتفاعات المثلث يجزئ المثلث الأصلي إلى ثلاثة مثلثات كل منها يشبه المثلث الأصلي ؛ وهذا يجعلنا بسهولة نستنتج أن $\angle AEF \cong \angle CED$ (شكل ٧ - ٨)

$\angle AFE \cong \angle BFD$ ، $\angle CDE \cong \angle BDF$. إذن أقل مسار طولاً من النقطة E إلى \overrightarrow{AB} هي $EF + FD$ ، بالمثل أقل مسار طولاً من النقطة E إلى \overrightarrow{CB} هي $ED + DF$ ، وأقل مسار طولاً من النقطة D إلى النقطة F هو $DF + EF$ ، وهذا يعني أن $\triangle EDF$ المنشأ داخل المثلث الحاد الزوايا ABC له أقل طول محيط ممكن.

ولقارنة محيط أي مثلث آخر منشأ داخل $\triangle ABC$ مع مثلث المساقط من نقطة

تقاطع ارتفاعات المثلث EDF ، سنجد بسهولة أن محيط $\triangle EDF$ هو الأقل . ●
من الزوايا التي أثبتنا تطابقها سابقاً يمكننا الوصول لخاصية جديدة تطور عملنا على مثلث المساقط من نقطة تقاطع ارتفاعات المثلث. فنلاحظ من كون $\angle AFE \cong \angle BFD$ ، وكون الزاويتان $\angle AFE$ ، $\angle EFC$ متسامتين (مجموع قياسهما يساوي 90°) ، وكذلك كون $\angle DFC, \angle DFB$ أيضاً متسامتين ؛ لذا نستنتج أن :

$$\angle EFC \cong \angle DFC$$

ويشكل عام نقدم ذلك في النظرية التالية ٨ - ٨ .

ارتفاعات المثلث الحاد الزوايا تنصف زوايا مثلث المساقط.

نظرية : ٨-٨

بالنظر إلى التطبيق رقم ٥ في الفصل الثاني ، ندرك كم هو ممتع أن نرى كيف لبرهان هذا التطبيق أن يستخدم في حالات أخرى ، فنحن الآن نملك نقطة تقاطع ارتفاعات $\triangle ABC$ التي هي في نفس الوقت مركز الدائرة الداخلية للمثلث EDF (انظر شكل ٧ - ٨) .

و قبل التوسيع في العمل على الشكل ٧ - ٨ ، لندرس معاً النظرية البسيطة التالية.

نقطة تقاطع الارتفاعات في المثلث تقسم الارتفاع إلى جزأين ، حاصل

نظرية : ٩-٨

ضرب كل زوج منها يساوي حاصل ضرب الزوجين الآخرين.

البرهان

لأن $\frac{CH}{AH} = \frac{HD}{HF}$ ، (انظر الشكل 7-8) ويكون $\triangle CDH \sim \triangle AFH$

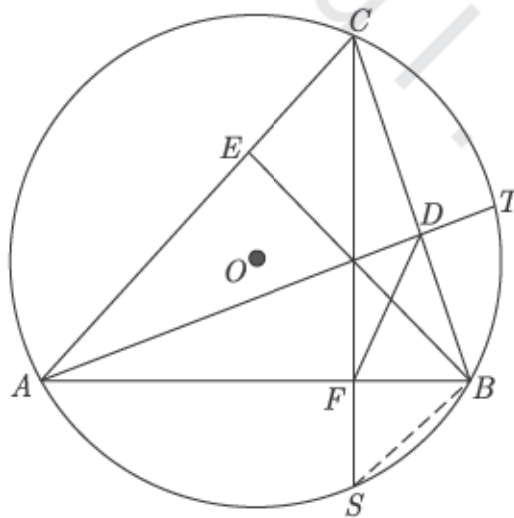
التعبير عن هذا التناصب كالتالي :

$$(CH)(HF) = (AH)(HD)$$

ويكتمل برهاننا باستخدام زوج آخر من المثلثات المشابهة بنفس الطريقة السابقة .
والآن عند دراستنا للدائرة O المحيطة بالمثلث ABC (انظر الشكل 10-8) ،
ويفرض أن \overrightarrow{CF} يقطع O في النقطة S . نلاحظ أن \overline{AB} تنصف \overline{HS} ، وهذا ما
تعجمه النظرية التالية .

القطعة المستقيمة الواصلة بين نقطة تقاطع الارتفاعات في مثلث ونقطة تقاطع الارتفاع (امتداده من جهة مسقطه) مع الدائرة المحيطة بهذا المثلث، ينصفها ضلع المثلث.

نظريّة: 8-10



شکل 8-10

البرهان

لاحظ أن $\angle CSB \cong \angle CAB$ (لأنهما زاويتان محيطيتان في دائرة واحدة تحصران نفس القوس ، \widehat{BC}) (انظر الشكل 10 – 8). في $\triangle ACF$ ، الزاويتان $\angle ACF, \angle CAF$ متمتتان ، وكذلك أيضًا في $\triangle CEH$ ، الزاويتان $\angle ECH, \angle CHE$ متمتتان ، ولكن $\angle BHF \cong \angle CHE$ ، إذن : $\angle CAF \cong \angle BHF$. لأن كلاً من $\angle CSB, \angle BHF \cong \angle CAB$ ، إذن هما متطابقتان ، مما يعني أن $\triangle HBS$ متطابق الضلعين ، أي أن $\angle BFS \cong \angle BFH$. وهذا يثبت النظرية لارتفاع واحد من ارتفاعات المثلث الثلاثة. بخطوات مماثلة لهذا البرهان ، ثبتت النظرية لباقي الارتفاعات في المثلث . ● نظريتنا التالية تثبت أن الرأس B منتصف القوس TS (انظر الشكل 8 – 10).

نظريّة 11-8

رأس المثلث هي نقطة منتصف قوس الدائرة المحيطة المحصور بين امتدادي ارتفاعين من ارتفاعات المثلث من جهة مسقطيهما (انظر الشكل 10 – 8).

البرهان

الرباعي $AFDC$ (الشكل 10 – 8) دائري لأن $\angle AFC \cong \angle ADC$ (قائمتان) ، إذن :

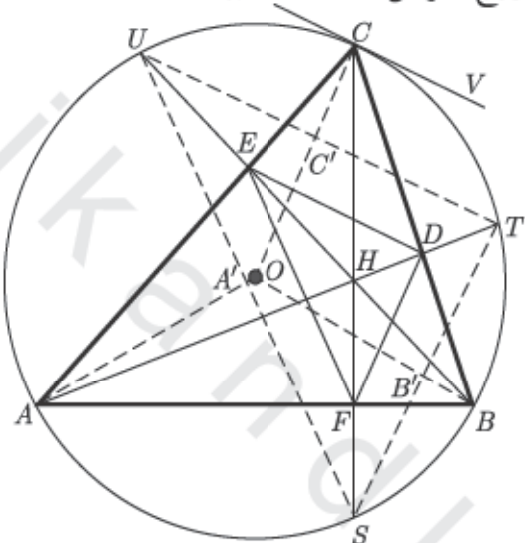
$$\angle FAD \cong \angle DCF$$

ومن ذلك نستنتج أن :

$$\widehat{SB} \cong \widehat{TB}$$

(زاویتان محیطیتان متطابقتان مرسومتان في دائرة واحدة لهما قوسان متطابقان).
تذکر أن ما يمكن إثباته على زوج من الارتفاعات هو صحيح لأي زوج آخر من
ارتفاعات المثلث الثلاثة .

ما سبق يقودنا إلى زوج آخر من المثلثات المتشابهة .



شكل 8 - 11

المثلث الذي رؤوسه تقاطع امتدادات ارتفاعات المثلث مع
الدائرة المحيطة يشابه مثلث المساقط المنشأ من مساقط ارتفاعات
المثلث ، وتتواءزى أضلاعهما المتناظرة .

نظرية: 8-12

البرهان

لقد أثبتنا في النظرية 10 - 8 أن $HF = SF, HD = TD$ (انظر الشكل 8 - 11) ؛ إذن في $\triangle HST$ ، \overline{DF} قطعة مستقيمة واصلة بين متضمني ضلعين

توازي \overline{ST} ، وبنفس الخطوات سنتثبت أن $\overline{EF} \parallel \overline{US}$ ، $\overline{DE} \parallel \overline{TU}$ ، ومن

$$\bullet . \Delta DEF \sim \Delta TUS \text{ ذلك}$$

تمنحنا نظرية 12 – 8 مزيداً من الحركة نحو الحصول على علاقات أخرى مفيدة تساعدنا على استكمال دراسة دائرة النقاط التسع.

نظريه: 8-13
أنصاف أقطار الدائرة المحيطة بالثلث التي تحوي رؤوسه عمودية على أضلاع مثلث المساقط المنشأ من مساقط ارتفاعات المثلث الأصلي المقابلة لها.

البرهان

سوف نقوم بإثبات هذه النظرية لنصف قطر واحد ونترك إثبات القطرين الآخرين للقارئ.

على الشكل (11-8) ، \overline{OC} نصف قطر الدائرة المحيطة لكل من $\Delta ABC, \Delta STU$. من نظرية 11-8 ، $\widehat{UC} \cong \widehat{TC}$ ؛ إذن \overline{OC} عمودي وينصف \overline{TU} ، لأن $\overline{OC} \perp \overline{TU}$ فإن \overline{OC} أيضاً عمودي على \overline{DE} (لأنها في نظرية 12-8 قد أثبتنا أن $\overline{DE} \parallel \overline{TU}$) .

والأآن سنقدم نظرية لابد أن تعقب النظرية السابقة.

نظريه: 14-8
مماسات الدائرة المحيطة بالثلث عند رؤوسه توازي الأضلاع المناظرة لها من مثلث المساقط المنشأ من مساقط ارتفاعات المثلث الأصلي.

البرهان

مرة ثانية سنقوم بإثبات النظرية لضلع واحد من مثلث المساقط المنشأ من مساقط ارتفاعات المثلث. \overrightarrow{OC} عمودي على الماس \overrightarrow{VC} (الشكل 11-8)، ولكن $\overrightarrow{OC} \perp \overrightarrow{DE}$ (نظرية 13-8)، إذن $\overrightarrow{VC} \parallel \overrightarrow{DE}$ وبنفس الطريقة تتحقق العلاقة مع الأضلاع الأخرى من مثلث المساقط المنشأ من مساقط ارتفاعات المثلث.

دائرة النقاط التسع - مرة أخرى

نعود الآن لدراستنا لخواص دائرة النقاط التسع ونقدم في الجزء القادم خاصيتين تعتبران تاليتين مباشرتين للنظريتين 14-8 و 13-8.

نظرية 15-8

imasat دائرة النقاط التسع للمثلث عند نقاط متتصفات أضلاعه توازي الأضلاع المقابلة من مثلث المساقط المنشأ من مساقط ارتفاعات المثلث الأصلي.

البرهان

نصف القطر $\overrightarrow{NC'}$ لدائرة النقاط التسع عمودي على $\overrightarrow{C'W}$ (انظر الشكل 12-8). بتطبيق نظرية 13-8، $\overrightarrow{OC} \perp \overrightarrow{DE}$ ، ولقد أثبتنا سابقاً أن \overrightarrow{MN} قطعة مستقيمة وائلة بين متتصفي ضلعين في $\triangle COH$ ، إذن:

$$\overrightarrow{MN} \parallel \overrightarrow{OC}$$

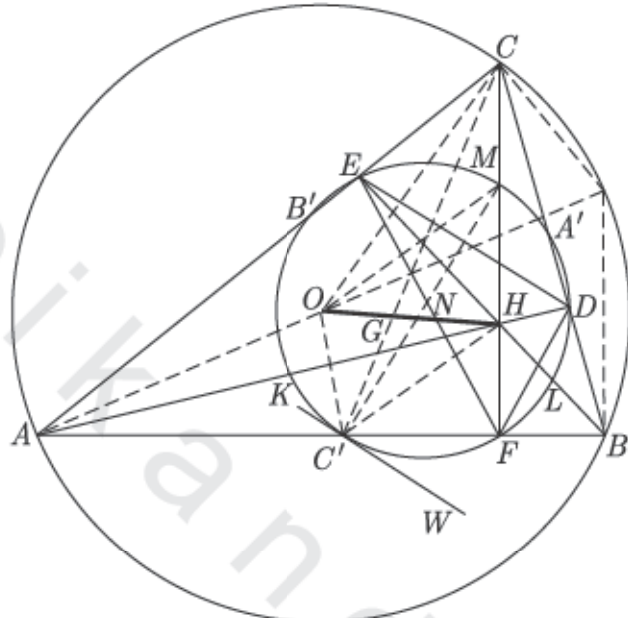
وهذا يؤدي إلى أن :

$$\overrightarrow{MNC'} \parallel \overrightarrow{OC}$$

أي أن :

$$\overrightarrow{C'W} \parallel \overrightarrow{DE}$$

● وبنفس الطريقة يمكننا إثبات النظرية على الضلعين الباقيين من المثلث.



شكل 8-12

نظرية : 8-16

مماسات دائرة النقاط التسع عند متصفات أضلاع المثلث توازي

مماسات الدائرة المحيطة عند رؤوس هذا المثلث.

البرهان

لأن كلاً من مماسات دائرة النقاط التسع عند متصفات أضلاع المثلث، ومماسات الدائرة المحيطة عند رؤوس هذا المثلث، توازي أضلاع مثلث المساقط المنشأ من مساقط ارتفاعات المثلث. إذن هما متوازيان . ●

يتكون نظام نقاط تقاطع الارتفاعات orthocentric system من أربع نقاط ، كل منها هو نقطة تقاطع ارتفاعات المثلث الذي رؤوسه النقاط الثلاث المتبقية ، ففي الشكل 12-8 ، النقاط A, B, C, H تشكل نظاماً لنقاط تقاطع الارتفاعات وذلك كالتالي :

- H نقطة تقاطع الارتفاعات في $\triangle ABC$;
- A نقطة تقاطع الارتفاعات في $\triangle BCH$;
- B نقطة تقاطع الارتفاعات في $\triangle ACH$;
- C نقطة تقاطع الارتفاعات في $\triangle ABH$.

نظريّة 8-17 المثلثات الأربع لنظام نقاط تقاطع الارتفاعات لها نفس دائرة النقاط التسع.

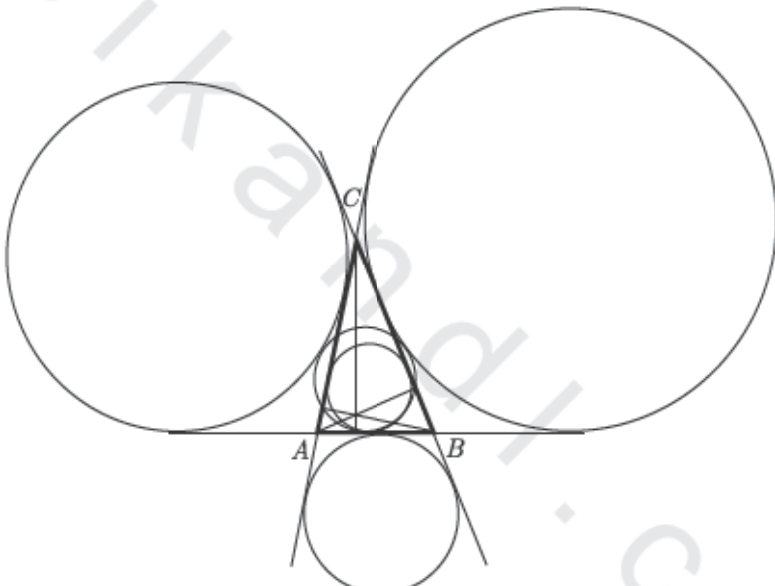
البرهان

برهان هذه النظرية متترك للقارئ ، حيث يتطلب ذلك التأكيد من أن كلاً من النقاط التسع لكل من المثلثات الأربع تقع على نفس الدائرة N .

تعد الخاصية التي تربط بين دائرة النقاط التسع للمثلث من جهة والدوائر الخارجية و الدائرة الداخلية لنفس المثلث من جهة أخرى واحدة من أشهر خصائص دائرة النقاط التسع والتي اكتشفها وبرهنها الرياضي الألماني كارل فيلهلم فيورياخ Karl Wilhelm Feuerbach في عام ١٨٢٢ م. وهي تنص على ما يلي

نظريّة 8-18 (نظرية فيورياخ) دائرة النقاط التسع للمثلث تمس كلاً من الدوائر الخارجية و الدائرة الداخلية لنفس المثلث. (انظر الشكل 13-8).

يعد برهان هذه الخاصية معقد إلى حد بعيد، ولكنه في ذات الوقت مفيد، والقارئ المهتم سيفجد أربعة براهين مختلفة لنظرية فيورياخ في كتاب الهندسة الحديثة *Modern Geometry* تأليف روجر أ. جونسون*. أما البرهان الذي استخدمه فيورياخ فقد اعتمد على حساب المسافات بين مركز دائرة النقاط التسع ومرَاكز كل من الدائرة الداخلية (R) والدائرة المحيطة (p)



شكل 8 - 13

والدائرة الداخلية لمثلث المساقط المنشأ من مساقط ارتفاعات المثلث (أو مثلث المساقط في صورته العامة) المثلث DEF في شكل 8-12، ثم وضع أن هذه المسافات تساوي المجموع والفرق لأنصاف الأقطار المتاظرة.

$$\begin{aligned}(OI)^2 &= R^2 - 2Rp \\(IH)^2 &= 2p^2 - 2Rr \\(OH)^2 &= R^2 - 4Rr\end{aligned}$$

$$(NI)^2 = \frac{1}{2} \left[(OI)^2 + (IH)^2 \right] - (NH)^2 = \frac{1}{4} R^2 - Rp + p^2 = \left(\frac{1}{2} R - p \right)^2$$

لاحظ أن I هي مركز الدائرة الداخلية للمثلث ، H هي نقطة تقاطع ارتفاعات المثلث ، O مركز الدائرة المحيطة.

تدريبات

- أثبت أن مركز الدائرة المحيطة لأي مثلث هي نقطة تقاطع ارتفاعات للمثلث الذي رؤوسه نقاط المنتصف لأضلاع المثلث الأصلي.
- أثبت أن أطوال ارتفاعات المثلث تتناسب عكسيًا مع أطوال أضلاع هذا المثلث.
- في الشكل 12 – 8 ، أثبت أن $\Delta A'B'C' \cong \Delta A'B'F$.
- في الشكل 12 – 8 ، أثبت أن $\overline{OM}, \overline{CC'}$ ينصف كل منهما الآخر.
- لماذا استخدمنا المثلث الحاد الزوايا فقط عند إثباتنا أن مثلث المساقط المنشأ من مساقط ارتفاعات المثلث له أقل طول محيط ممكн بين المثلثات المنشأة داخل المثلث الأصلي (نظيرية 7 – 8)؟
- ليكن \overline{AM} هو ارتفاع المثلث ABC على الضلع \overline{BC} حيث $M \in \overline{BC}$ ، ولتكن H هي نقطة تلاقى ارتفاعات المثلث. أثبت أن $(BM)(MC) = k(AM)$ حيث k هي بعد H عن \overline{BC} .
- أثبت أن قياس الزاوية المحصوره بين ارتفاع المثلث ونصف قطر الدائرة المحيطة بالمثلث والمشتركين في نفس الرأس يساوي الفرق بين قياسي زاويتي المثلث المتبقين.

8. أثبتت أن الزاوية المخصوصة بين ارتفاع المثلث ونصف قطر الدائرة المحيطة بالمثلث المشتركين في نفس الرأس ينصفها منصف زاوية رأس المثلث الخارج منها ارتفاع المثلث ونصف قطر الدائرة المحيطة.
9. أثبتت أن الدائرة المحيطة بمثلث تطابق الدائرة التي تمر برأسين من رؤوس هذا المثلث ونقطة تقاطع ارتفاعاته.
10. أثبتت أن طول القطعة المستقيمة العمودية الخارجة من مركز الدائرة المحيطة بمثلث إلى أحد أضلاعه تساوي نصف طول القطعة المستقيمة الواقعة بين رأس المثلث والقابلة لهذا الضلع ونقطة تقاطع ارتفاعات هذا المثلث.
11. أثبتت أن مجموع أطوال ارتفاعات المثلث أقل من طول محيطه.
12. أثبتت أن دائرة النقاط التسع للمثلث الذي رؤوسه أي ثلات نقاط من النقاط التالية : مركز الدائرة الداخلية لمثلث ABC ، مراكز الدوائر الثلاث الخارجية للمثلث ABC ، تمر بالرؤوس A, B, C .
13. أثبتت أن الخط المستقيم الذي تقع عليه نقطة تقاطع ارتفاعات مثلث ، ونقطة متتصف ضلعاً هذا المثلث يتقاطع مع قطر الدائرة المحيطة به والخارج من الرأس المقابلة لهذا الضلع في نقطة تقع على الدائرة المحيطة بالمثلث.
14. أثبتت أن مركز دائرة النقاط التسع لمثلث يقع على استقامة واحدة مع كل من نقطتي تقاطع العمودين الساقطين من نقطة تقاطع ارتفاعات المثلث على المنصفين الداخلي والخارجي لزاوية الرأس ، ونقطة متتصف ضلعاً المثلث المقابل لهذه الرأس.
15. أثبتت أنه إذا كان لمثلث رأس ثابتة ودائرة نقاط تسع ثابتة فإن الحل الهندسي للنقاط التي يمكن أن تكون مركزاً للدائرة المحيطة بالمثلث تقع على دائرة.